

III-126 側方不完全拘束状態でのねじりせん断における砂中の間隙水圧上昇特性

東京大学工学部 正 石原研而
東京大学大学院 学 許 海龍
日本道路公团 正 三百田健治

1. まえがき：構造物の周辺や斜面内部の土は、地震時に側方が不完全に拘束された状態で、繰り返しせん断応力を受けると考えられる。このような応力変化を受ける時の飽和砂の漚状化特性をしらべるため、ねじり三軸試験装置を用いていくつかの実験を行った。そこで実験方法と若干の結果について述べてみることにする。

2. 実験装置：本実験では、中空ねじりせん断三軸装置を用い、側方変位条件を任意に設定できるようにセル水の排水を制御する装置を作製した（図1）。この新たに設置した制御装置は図2に示してある。

3. 実験方法：実験に用いた砂は $\gamma_s = 2.73$, $C_{max} = 1.03$, $C_{min} = 0.48$, $D_{50} = 0.40 \text{ mm}$, $U_c = D_0/D_0 = 2.14$ の富士川砂である。この砂から内径 6.0 cm , 外径 10.0 cm , 高さ約 7.5 cm の中空供試体を作成した。この供試体作成後、应力比 $K_r = 0.5$ で軸圧 $\sigma'_1 = 1.0 \text{ kg/cm}^2$ まで圧密した。繰り返して側方不完全拘束状態で周期1秒でくり返し試験を行なった。側方拘束を調整するために以下4つの方法の中の1つを適宜採用した。具体的にはセルから排除される水の量が1秒あたり4 c.c. ~ 12 c.c. になるようにして実験を行なった。

実験の方法は次の様に表わしされる：

- (1). ピストン法 — A, D閉, B, C開。
- (2). 不完全自由法 — A, C閉, B, D開。
- (3). コップ固定法 — A, C閉, D開, Bコップ半開き(半閉じ)固定。
- (4). コップ調節法 — A, C閉, D開, Bコップ開閉度調節。

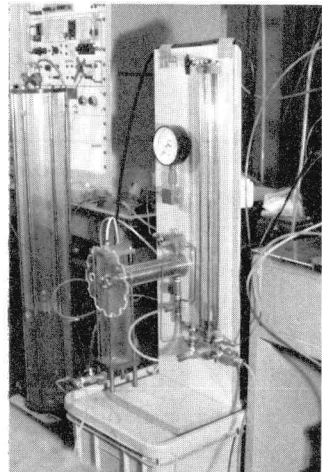


図 1.

4. 実験結果及び考察：図3に示したのはくり返しせん断応力比が $\tau/\sigma'_1 = 0.229$ で側方拘束がかなり大きい場合の実験結果である。側方変位が小さいので、それに呼んで軸ヒズミ ϵ_1 の値の変動も小さくになっている。間隙水圧 σ'_3 、側方圧力 $\Delta\sigma_c$ の値は急速に増加し、5回のくり返しひずみに到達している。次に、側方拘束を小さくし、くり返しせん断応力比 $\tau/\sigma'_1 = 0.225$ を加えて行なった実験結果が図4に示してある。この場合軸方向ヒズミ ϵ_1 が急速に生ずるが、その間、間隙水圧と側圧はほとんど一定値を保っている。そして、20回目で側方拘束を大きくして軸方向ヒズミを阻止したところに水圧、側圧ともに急上昇して漚状化に到達している。最後に側方拘束を中途で変えた場合の実験結果を示したのが図5である。

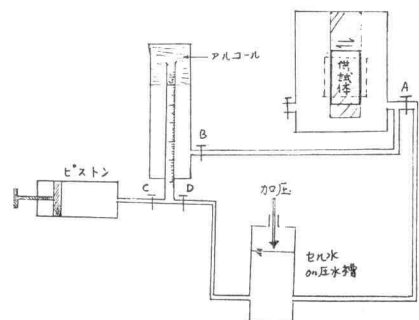


図2. セル水排水量制御器系統図

ある。16回目までは側方拘束が大きく軸ヒズミが小さいため水压、側圧ともに上昇してきているが、17回目で側方拘束をゆるめたとだん、軸ヒズミ速度が上昇し、水压、側圧ともに減少するという特異な挙動が表われている。

5. ますび： 側方拘束状態を変えたくり返し板じり三軸試験を行った結果、側方拘束の度合が大きいほど軸ヒズミが小さく水压が上昇しやすく、逆に側方拘束の度合が小さく軸ヒズミが大きく液状化しにくくなるという特性が観察された。

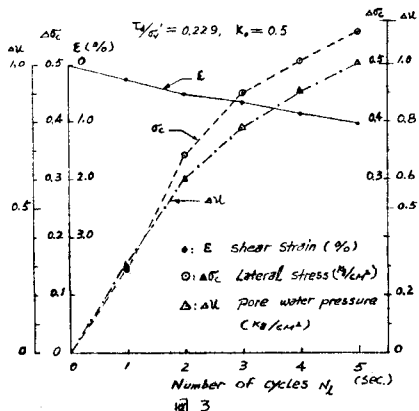


図 3

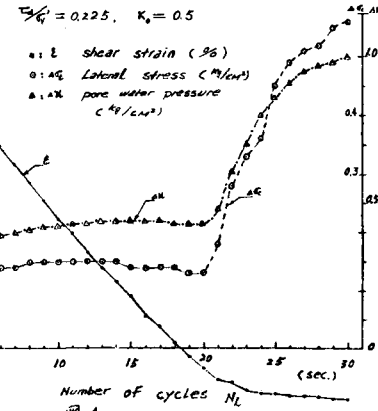


図 4.

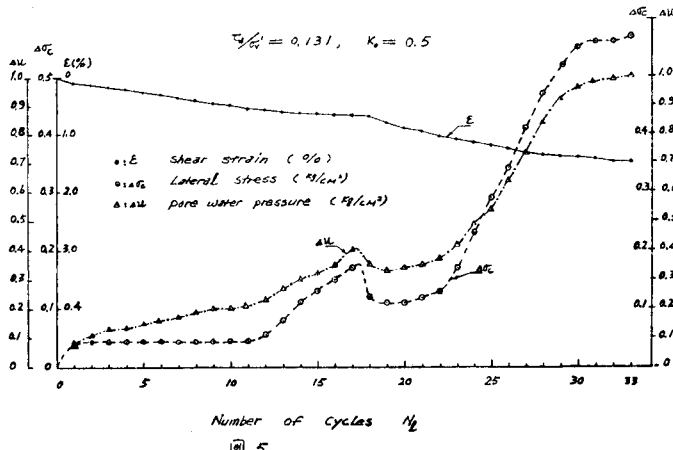


図 5.

6. 参考文献：

- (1) 土質動力学の基礎：石原研而著。
- (2) 李相一，東京大学（1972年）博士論文。
- (3) 安田進，東京大学（1974年）博士論文。
- (4) Kenji Ishihara and Sang-il Li (1972) "Liquefaction of saturated sand in Triaxial torsion shear test" Vol. 12, June, pp. 19~39.